

Article Type:
Research Article

Article History:

Received: 2024/11/2
Revised: 2024/12/25
Accepted: 2025/1/6
Published: 2025/4/5

How to Cite:

Khosravi Z,
Mohammad Ali Nasab Firouzjah E,
Homayounnia Firouzjah M.
Comparison of pain and
scapulohumeral rhythm in female
students with and without upper
crossed syndrome. *EBNESINA*
2025;27(1):91-104.

DOI: 10.22034/27.1.91



Comparison of pain and scapulohumeral rhythm in female students with and without upper crossed syndrome

Zahra Khosravi^{ID 1}, Ebrahim Mohammad Ali Nasab Firouzjah^{ID 1}✉, Morteza Homayounnia Firouzjah^{ID 2}

Abstract

Background and aims: Upper Crossed Syndrome (UCS) is a postural imbalance that leads to abnormal patterns in joints and soft tissues. This study aimed to compare neck and shoulder pain, as well as scapulohumeral rhythm, in female students with and without UCS.

Methods: In this causal-comparative study, 60 female students aged 10-12 years from Khalkhal city, during the academic year 2022-2023, were selected as the research sample and screened using a posture assessment grid. Based on quantitative physical assessments, participants were divided into two groups: healthy (n=30) and UCS (n=30). Forward head and shoulder angles were evaluated using photographic analysis, kyphosis angle was measured with the Goniometer-pro app, pain index by Visual Analog Scale (VAS), and scapulohumeral rhythm was assessed using the Lateral Scapular Slide Test (LSST).

Results: The findings revealed significant differences in neck pain, shoulder pain, and scapulohumeral rhythm between students with UCS and healthy subjects ($p < 0.05$).

Conclusion: UCS is associated with increased neck and shoulder pain and disrupted scapulohumeral rhythm. Therefore, implementing corrective interventions and preventive programs is recommended for students at risk of postural abnormalities and impaired musculoskeletal function.

Keywords: pain, shoulder joint, postural balance, kyphosis, children, musculoskeletal abnormalities

EBNESINA - IRIAF Health Administration

(Vol. 27, No. 1, Serial 90)

1. Department of Exercise Physiology and Corrective Exercise, Faculty of Sport Sciences, Urmia University, Urmia, Iran

2. Department of Physical Education, Farhangian University, Tehran, Iran

✉ Corresponding Author:

Ebrahim

Mohammad Ali Nasab Firouzjah

Address: Urmia University, Faculty of Sport Sciences, Department of Exercise Physiology and Corrective Exercise, Urmia, Iran

Tel: +98 (45) 32453259

E-mail:

e.mohammadalinashab@urmia.ac.ir



Copyright© 2025. This open-access article is published under the terms of the Creative Commons Attribution-NonCommercial 4.0 International License which permits Share (copy and redistribute the material in any medium or format) and Adapt (remix, transform, and build upon the material) under the Attribution-NonCommercial terms. Downloaded from: <http://www.ebnesina.ajaums.ac.ir>

Introduction

Upper Crossed Syndrome (UCS) is a common musculoskeletal condition characterized by a distinctive pattern of muscle imbalances around the neck and upper back region. Specifically, UCS involves tightness in the upper trapezius and scapular muscles on the back (dorsal side) intersecting with tight pectoralis major and minor muscles on the front (ventral side). Concurrently, this tightness is accompanied by weakness of the deep neck flexors in the front of the neck and weakness of the middle and lower trapezius muscles in the upper back [6]. This combination of muscle tightness and weakness leads to maladaptive postural changes and abnormal joint mechanics. Clinically, UCS manifests as a forward head posture, an exaggerated cervical (neck) curve, increased thoracic kyphosis, scapular protraction (where the shoulder blades move forward), and winging of the scapula [7].

UCS is notably prevalent among children and adolescents, particularly students, due to their prolonged periods of poor posture often associated with studying, screen use, or inadequate ergonomic settings. Despite its frequent occurrence, there remains a significant gap in comprehensive studies examining the full spectrum of complications stemming from UCS. These complications may include chronic neck and shoulder pain, altered scapular positioning, changes in the kinematics of shoulder movement, and disruptions to the scapulohumeral rhythm—the coordinated movement between the scapula (shoulder blade) and the humerus (upper arm bone).

Given the importance of shoulder function in daily activities and sports, understanding the impact of UCS on pain and scapular mechanics is critical. The present study aimed to address this gap by comparing neck and shoulder pain levels, as well as scapulohumeral rhythm, between female students diagnosed with UCS and those without postural abnormalities.

Methods

This study employed a causal-comparative design to investigate differences between two groups of female students: those with UCS and healthy controls. Conducted during the 2022-2023 academic year in Khalkhal city, 60 female students aged between 10 and 12 years were recruited as participants.

Initial screening involved a postural assessment using a posture assessment grid [18] to identify abnormalities consistent with UCS. Based on physical examination and objective measurements, participants were divided equally into two groups: 30 students exhibiting signs of UCS and 30 healthy controls without postural deficits.

Postural assessment involved detailed photographic analysis to measure forward head posture and shoulder angles [20]. Specific angle thresholds were used to define UCS: forward head angles greater than 46 degrees and round shoulder angles greater than 52 degrees were considered indicative of abnormal posture [16]. The photographic analysis software used for this task had been previously validated with confirmed reliability and accuracy [21], ensuring dependable measurement of anatomical angles.

Additionally, the degree of thoracic kyphosis was measured using a professional goniometer program [22]. Kyphosis was defined as a thoracic curvature angle exceeding 42 degrees [16]. Prior reliability studies of the measurement tool reported excellent intra-rater ($ICC=0.88$) and inter-rater reliability ($ICC=0.91$), supporting its use in clinical research settings [22].

To evaluate neck and shoulder pain intensity, a Visual Analog Scale (VAS) was administered where participants rated their pain on a continuum from 0 (no pain) to 10 (worst imaginable pain) separately for the neck and shoulder regions. The VAS has shown adequate validity (0.70) and high reliability (0.97) for pain assessment in similar populations [23, 24].

Assessment of scapulohumeral rhythm was

performed using the Lateral Scapular Slide Test (LSST). This involved measuring the distance from the vertebral column to the inferior angle of both the dominant and non-dominant scapulae at three arm positions: neutral (0 degrees), 45 degrees, and 90 degrees of shoulder abduction. Measurements were taken using a tape measure, providing a quantifiable method for comparing scapular positioning and movement between participants [28]. The LSST test has demonstrated good reliability, with intragroup correlation coefficients ranging from 0.91 to 0.92, and is widely accepted for clinical evaluation of scapular dyskinesis [28].

Statistical analysis was conducted using SPSS software, version 26. Independent t-tests compared the differences in pain scores and scapular distances between the UCS and control groups at a significance level of 0.05.

Results

Analysis of the collected data revealed significant differences between the UCS group and healthy controls in several key outcome measures. Students with UCS reported notably higher levels of pain in both the neck and shoulder regions while at rest compared to their healthy peers ($p = 0.001$).

Furthermore, the scapular position as assessed by the LSST demonstrated significant abnormalities in the UCS group across all measured arm positions. At neutral (0 degrees), 45 degrees, and 90 degrees of shoulder abduction, the distances between the scapulae and the vertebral column on both the dominant and non-dominant sides were consistently greater in students with UCS compared to the healthy group (p -values ranging from 0.001 to 0.013).

Discussion and Conclusion

The findings of this study clearly demonstrate that female students with UCS experience significantly more neck and shoulder pain than those without postural abnormalities. This reinforces the hypothesis that muscle imbalances intrinsic to UCS contribute to musculoskeletal

pain even at rest, supporting the observations reported in similar studies by Amiri et al., Ghaffar et al., and Jaideep et al. [29, 31, 32].

Additionally, the impaired scapulohumeral rhythm observed in UCS-affected students indicates altered scapular movement patterns during arm elevation, a finding consistent with prior research by Das et al., Ghafouri et al., and Khosravi et al. [15, 16, 33]. Proper scapulohumeral rhythm is essential for efficient shoulder biomechanics, preventing injuries, and maintaining functional upper limb mobility. Disruption in this rhythm may therefore predispose students to further musculoskeletal dysfunctions.

Mechanistically, UCS creates a vicious cycle: muscle imbalances increase tension and fatigue in affected muscles, resulting in pain, reduced range of motion, and abnormal movement patterns. Over time, these changes may instigate degenerative joint changes and chronic disability if left unaddressed.

Given these insights, early identification and intervention for UCS in school-aged children is vital. This study suggests that trainers, physical education teachers, healthcare providers, and parents should collaborate to implement corrective exercise programs aimed at strengthening weak muscles, stretching tight muscles, and improving postural alignment. Such programs could help prevent the development or progression of UCS and its associated complications, ultimately promoting better musculoskeletal health and quality of life in young populations.

Ethical Considerations

Informed consent was obtained from the parents or guardians of all participants prior to enrollment in the study. The research objectives were clearly explained, and parents were assured that the evaluation methods posed no risk to their children. Confidentiality of participants' personal information was maintained throughout the study.

Funding

There is no funding support.

Authors' Contributions

All authors contributed equally to the conceptualization, design, implementation, data analysis, and manuscript preparation of this study. They also take full responsibility for the accuracy, integrity, and final approval of the published article.

Conflict of Interest

Authors declared no conflict of interest.

Acknowledgments

This study is based on the first author's master's thesis (code IR.SSRC.REC.1401.105) and was approved by the Sports Sciences Research Institute. The authors extend their sincere gratitude to all the students and their parents for their kind participation and cooperation, which was invaluable to the successful completion of this research.

مقایسه درد و ریتم کتفی بازویی در دانشآموزان دختر با و بدون سندروم متقطع فوقانی

زهرا خسروی^۱، ابراهیم محمد علی نسب فیروزجاه^{۱*}،
مرتضی همایون نیا فیروزجاه^۲

چکیده

زمینه و اهداف: سندروم متقطع فوقانی (UCS) ناهنجاری است که سبب بروز الگوهای نامناسب در مفاصل و بافت‌های نرم می‌گردد. هدف از پژوهش حاضر، مقایسه درد ناحیه گردن و شانه و ریتم کتفی بازویی در دانشآموزان دختر با و بدون UCS بود.

روش بررسی: در پژوهش علی- مقایسه‌ای حاضر، از بین دانشآموزان دختر ۱۰-۱۲ ساله شهر خلخال در سال تحصیلی ۱۴۰۱-۱۴۰۲، تعداد ۶۰ نفر به عنوان نمونه تحقیق انتخاب و با استفاده از صفحه شطرنجی غربالگری شدند و پس از ارزیابی‌های کمی و ضعیت بدنی، در دو گروه سالم (۳۰ نفر) و گروه مبتلا به UCS (۳۰ نفر) تقسیم شدند. زاویه سر به جلو و شانه به جلو با استفاده از روش عکس‌برداری، زاویه کیفوز با استفاده از کوئیامتر حرفة‌ای، شاخص درد توسط مقیاس بصری درد (VAS) و ریتم کتفی بازویی توسط آزمون حرکت جانبی استخوان کتف (LSST) مورد ارزیابی قرار گرفتند.

یافته‌ها: نتایج نشان داد بین درد ناحیه گردن، درد شانه و ریتم کتفی بازویی در دانشآموزان مبتلا به UCS و افراد سالم تفاوت معنی‌داری وجود دارد ($p < 0.05$).

نتیجه گیری: UCS سبب درد ناحیه گردن و شانه و اختلال در ریتم کتفی بازویی می‌گردد؛ بر این اساس، ارائه برنامه‌های اصلاحی و پیشگیری از وقوع اختلالات وضعیتی برای دانشآموزان که مستعد ناهنجاری‌های قائمی و شکل‌پذیری نامناسب بدن هستند، پیشنهاد می‌شود.

کلمات کلیدی: درد، مفصل شانه، تعادل وضعیتی، کیفوز، کودکان، ناهنجاری‌های اسکلتی- عضلانی

مقدمه

شدن کتفها است [۱]. این الگوی عدم تعادل عضلانی باعث اختلال عملکرد بهویژه در مفاصل اطلسی-پسسری، مهره چهارم و پنجم گردن، مفصل گردنی-سینه‌ای، مفصل گلنوهومرال و مهره‌های چهار و پنج پشتی می‌شود [۲]. کیفیت سینه‌ای غیرطبیعی و تغییراتی که در بیومکانیک مفصل شانه در UCS به وجود می‌آید به درد ناحیه شانه و قفسه سینه منجر می‌شود [۳]. از طرفی به دلیل وضعیت سربه‌جلو در این سندروم، بار اضافی بر مهره‌های ناحیه گردن اعمال شده، تعادل و وضعیت سر مختل و باعث درد ارجاعی در سر، درد گردن و درد در ناحیه فک می‌گردد [۴].

نقش اساسی استخوان کتف در فعالیت طبیعی شانه کاملاً پذیرفته شده است. توالی فراخوانی عضلات و شدتی که هر کدام از عضلات در حین حرکت دارند، برای حرکت هماهنگ کتف و بالا بردن سر استخوان بازو بسیار مهم است. تعامل کینماتیکی بین کتف و بازو، به عنوان ریتم کتفی بازویی نامیده می‌شود [۵]. در طی ابداکشن کامل بازو، به ازای هر دو درجه حرکت در مفصل شانه، یک درجه حرکت در مفصل کتفی سینه‌ای صورت می‌گیرد. به عبارت دیگر در ۱۸۰ درجه ابداکشن شانه، ۱۲۰ درجه حرکت در مفصل شانه و ۶۰ درجه در مفصل کتفی-سینه‌ای صورت می‌گیرد [۶]. با توجه به ارتباط متقابل میان ناهنجاری‌های وضعیتی مختلف در ناحیه یک چهارم فوقانی بدن می‌توان انتظار داشت که هرگونه تغییر در وضعیت ستون فقرات به تغییر در وضعیت قرارگیری کتف [۷] و اختلال در ریتم کتفی بازویی منجر شود [۸]. به عبارت دیگر، برهم خوردن این ریتم، به دلیل کاهش یا افزایش میزان حرکت در مفاصل شانه یا کتفی-سینه‌ای اتفاق می‌افتد [۹].

اهمیت وضعیت قرارگیری کتف روی قفسه سینه به این دلیل است که تغییر وضعیت نرمال آن موجب افزایش کیفیت پشتی، اختلال بیومکانیکی در عضلات ناحیه کتف و سینه [۱۰]، تغییر در ترتیب حرکات اندام فوقانی، کاهش فضای ساب‌اکرومیال، بروز اختلالات حرکتی و همچنین اختلالات مفصل شانه می‌شود. در واقع، ناتوانی کتف در حفظ وضعیت و

وضعیت بدنی مطلوب، هماهنگی نسبی بخش‌های مختلف بدن با یکدیگر است. به طوری که فعالیت‌های عضلانی در کمترین حد خود و بدن در حداقل خستگی و درد و حداکثر کارایی خود است [۱]. انحراف از وضعیت دلخواه قامتی نه فقط از لحاظ ظاهری ناخوشایند است، بلکه بر کارایی عضلات تأثیر منفی گذاشته و منجر به افزایش مصرف انرژی و مهمتر این که فرد را مستعد آسیب‌های اسکلتی-عضلانی و بروز ناهنجاری‌های وضعیتی می‌کند [۲]. میزان شیوع ناهنجاری‌های اسکلتی-عضلانی در دانشآموزان ۱۱ تا ۱۵ سال بالاست، به طوری که شیوع سر به جلو ۸۳٪ و کیفیت ۱۰٪ است [۳]. در یک بررسی دیگر میزان شیوع ناهنجاری‌های شانه گرد و شانه‌های جلوتر از حد طبیعی در کودکان ۱۰ تا ۱۲ سال به ترتیب ۵۶ و ۶۱٪ گزارش شده است [۴]. دانشآموزان در نتیجه عواملی نظیر فقر حرکتی، مناسب نبودن میز و نیمکت مدارس با قد دانشآموزان، وزن کوله پشتی، نشستن طولانی مدت در کنار تلویزیون، موبایل و سرگرمی‌های ویدیویی در معرض ناهنجاری‌های وضعیتی از جمله سندروم متقاطع فوقانی (UCS) [۵]، قرار می‌گیرند [۶]. جاندا^۱ UCS را نوعی الگوی عدم تعادل عضلانی معرفی کرده است که به عنوان سندروم پروگزیمال یا سندروم متقاطع کمربند شانه‌ای^۲ نیز نامیده می‌شود که در آن سفتی بخش فوکانی عضله ذوزنقه‌ای و گوشه‌ای در سمت پشتی با سفتی عضلات سینه‌ای بزرگ و کوچک متقاطع است. همچنین ضعف خمکننده‌های عمقی گردن در سمت جلو با ضعف بخش میانی و تحتانی عضله ذوزنقه‌ای متقاطع است [۶]. تغییرات وضعیتی خاصی در UCS دیده شده است که در برگیرنده وضعیت سر به جلو، افزایش لوردوز گردنی و کیفیت پشتی، شانه‌های بالا آمده و به هم زنده کشیده (پروترکشن کتفها) و چرخش یا دور شدن و بالدار

1. Upper Crossed Syndrome

2. Janda

3. Shoulder Girdle Crossed Syndrome

سال تحصیلی ۱۴۰۲-۱۴۰۱ تشکیل دادند. حداقل حجم نمونه با استفاده از تحقیقات قبلی [۱۷] و از طریق از نرم افزار G*Power (توان آزمون ۹۵٪، آلفای ۰/۰۵ و اندازه اثر ۰/۲۵) تعداد ۳۰ نفر در هر گروه برآورد شد. این تعداد آزمودنی به صورت هدفمند و بر اساس معیارهای ورود به پژوهش و پس از تکمیل پرسشنامه پزشکی و اخذ رضایت از والدین و دانش آموزان جهت شرکت در پژوهش، از بین داوطلبان انتخاب شدند. بدین ترتیب که با استفاده از صفحه شطرنجی که چهار چوبی مستطیل شکل با ابعاد ۱/۵ در ۲ متر است و دارای دو پایه صاف موازی است و با استفاده از نوارهایی مثل سیم یا طناب به صورت شطرنجی مدرج (به شکل مربع هایی به ضلع ۵ سانتی متر) کادریندی شده است، از نمای جانبی، تست UCS توسط آزمونگر که در حدود ۳ الی ۴ متری روبروی صفحه می ایستاد، گرفته شد. آزمودنی ها با حداقل لباس در وضعیت ایستاده و با پای بر هنر در پشت صفحه شطرنجی قرار گرفتند. آزمودنی هایی که وضعیت سر، گردن، شانه و پشتستان از خط عمودی مرجع صفحه شطرنجی (خط شاقول) خارج شده بود، مبتلا به UCS تشخیص داده شدند. بدین شکل افرادی که سندروم را داشتند از افراد سالم جدا شدند و در دو گروه ۳۰ نفره سالم و مبتلا به سندروم تقسیم شدند. جهت تشخیص افراد مبتلا به سندروم، ارزیابی های کمی وضعیت سر، شانه و قوس پشتی انجام گردید و افراد دارای معیارهای مربوط به UCS در گروه نایهنجار قرار گرفتند.

معیارهای ورود به تحقیق شامل دانش آموزان دختر با دامنه سنی ۱۰ تا ۱۲ سال، وجود UCS (شانه به جلو بیشتر از ۵۲ درجه، سر به جلو بیشتر از ۴۶ درجه و کیفوز بیشتر از ۴۲ درجه)، رسیدن به بلوغ و عدم ابتلا به هایپرموبیلیتی^۱، عدم سابقه اختلالات مادرزادی ستون فقرات، شرکت داوطلبانه در تحقیق و عدم شرکت در برنامه مداخله ای یا تمرینی در طول تحقیق بود.

1. Hypermobility

اختلال در ارتباطش با مفصل شانه و عضلات مرتبط، موجب آسیب یا وضعیت بدنی غیرنرمال خواهد شد [۱۴]. همچنان که غفوری و همکاران در پژوهش خود نشان دادند که بین عملکرد عضلات شانه، گردن و تنہ با اختلالات مفصل گلنوهومرال در نظامیان با و بدون UCS اختلاف معناداری وجود دارد [۱۵]. مطالعه خسروی و همکاران نیز که روی دختران با و بدون UCS صورت گرفت، نشان داد دختران سالم نسبت به دختران دارای سندروم در متغیرهای تعادل ایستا، تعادل پویا و حس عمقی مفصل شانه وضعیت بهتری داشتند [۱۶]. در واقع، بروز اختلال در یک موضع و به دنبال آن تغییرات به وجود آمده در مفاصل و عضلات آن ناحیه، از طریق یک عکس العمل زنجیره ای به نواحی دیگر بدن منتقل می شود و بر مفاصل و عضلات مختلف تأثیر می گذارد [۱۲]. در دانش آموزان به دلیل طولانی بودن و وضعیت غلط نشستن و استفاده تکراری از اندام های فوقانی، احتمال به هم خوردن تعادل عضلات در یک چهارم فوقانی بدن وجود دارد که گمان می رود سبب افزایش تنش عضلانی و درد در این نواحی شود. با توجه به مطالب عنوان شده شیوع ناهنجاری های اندام فوقانی به ویژه UCS در دانش آموزان بالا است. بررسی تحقیقات پیشین نشان می دهد که اکثر مطالعات تأثیر پروتکل های اصلاحی روی این سندروم را بررسی کرده اند و به نظر می رسد مطالعه ای در خصوص عوارض احتمالی UCS از جمله درد، تغییر موقعیت و کینماتیک استخوان کتف و اختلال در حرکات کمر بند شانه ای و استخوان بازو به ویژه ریتم کتفی بازویی روی دانش آموزان با و بدون UCS انجام نشده است. بنابراین در مطالعه حاضر به مقایسه درد و ریتم کتفی بازویی در دانش آموزان دختر با و بدون سندروم متقطع فوقانی پرداخته شد.

روش بررسی

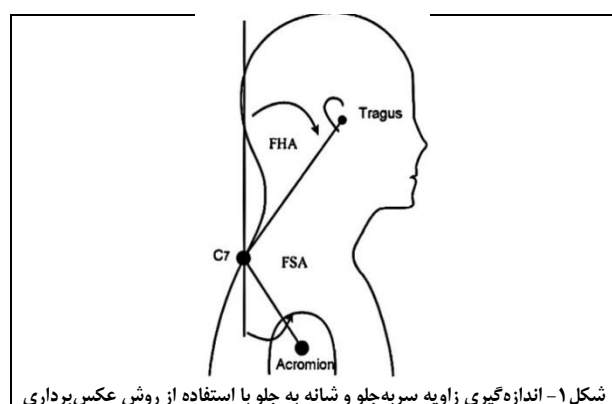
روش تحقیق حاضر توصیفی و از نوع علی - مقایسه ای بود که داده های آن به صورت کمی جمع آوری شد. جامعه آماری این پژوهش را دانش آموزان دختر ۱۰-۱۲ ساله شهر خلخال در

عکسبرداری که دوربین دیجیتال نیز بر روی آن قرار داشت، در فاصله ۲۶۵ سانتیمتری دیوار قرار گرفت و ارتفاع آن در سطح شانه راست آزمودنی تنظیم شد. در چنین شرایطی از آزمودنی خواسته شد تا سه مرتبه به جلو خم شده و سه بار نیز دستهایش را به بالای سر ببرد و سپس به صورت کاملاً راحت و طبیعی ایستاده و نقطه‌ای فرضی را روی دیوار مقابل، نگاه نماید (چشم‌ها در راستای افق). آزمونگر پس از پنج ثانیه مکث، اقدام به گرفتن عکس از نمای نیمرخ بدن کرد. در نهایت عکس مذکور به رایانه منتقل و با استفاده از نرم‌افزار کینووا^۱، زاویه خط واصل تراگوس و مهره هفتم با خط عمود (زاویه سر به جلو) و زاویه خط واصل مهره هفتم و زائده آکرومیون با خط عمود (زاویه شانه به جلو) اندازه‌گیری گردید [۲۰]. زوایای بیشتر از ۵۲ درجه برای شانه به جلو و بیشتر از ۴۶ درجه برای سر به جلو [۱۶] به عنوان ناهمجارت در UCS شناخته شدند.

پایایی و روایی این نرم‌افزار مورد تأیید قرار گرفته است [۲۱]. برای اندازه‌گیری زاویه کیفوز از برنامه گونیومتر حرفه‌ای^۲ استفاده شد [۲۲] (شکل ۲). ابتدا مهره اول پشتی و مهره دوازدهم پشتی بدون پوشش بالاتنه توسط آزمونگر مشخص شد. برای یافتن مهره اول پشتی از آزمودنی خواسته شد که در حالت ایستاده سرش را به جلو خم کند و برجسته ترین مهره او را که مهره هفتمین مهره گردنی بوده پیداکرده و با لمس کردن مهره‌ها توسط انگشتان، مهره پایین‌تر از مهره هفتم گردنی که همان اولین مهره پشتی بوده، علامتگذاری می‌شد، سپس برای پیدا کردن مهره دوازدهم پشتی از وزی خواسته می‌شد که دستهایش را روی لبه میز قرار داده و در حالت نیمه‌خم به جلو وزنش را بر روی دستهایش منتقل کند، به‌طور همزمان با لمس دنده دوازدهم در دو طرف با نوک انگشتان شست و دنبال کردن مسیرشان به سمت بالا و داخل تا جایی که در بافت نرم بدن ناپدید شوند، دنبال شد [۲۲]. در این نقطه با رسم کردن خط مستقیمی نوک دو انگشت شست را به هم وصل کرده و

معیارهای خروج از تحقیق شامل عدم همکاری افراد در انجام صحیح آزمون‌ها و داشتن شاخص توده بدنی غیرنرمال بود. قبل از انجام آزمون‌ها، توضیحات لازم در مورد ارزیابی‌ها برای والدین و آزمودنی‌ها ارائه شد. اندازه‌گیری ویژگی‌های آنتروپومتریک شامل قد، وزن، شاخص توده بدنی و ارزیابی‌های بعدی با رعایت کامل اصول اخلاقی در یک سالن ورزشی سرپوشیده و با دمای محیطی مناسب و نور کافی و حفظ پروتکل‌های بهداشتی با حضور آزمودنی‌های مورد نظر انجام گرفت. برای اندازه‌گیری زوایای سر به جلو، کیفوز و شانه به جلو، آزمودنی‌ها از ناحیه بالای کمر بدون پوشش بودند. جهت ارزیابی قد از استادیومتر، برای سنجش وزن از ترازوی دیجیتال استفاده شد و شاخص توده بدنی با تقسیم وزن (به کیلوگرم) بر مجدور قد (به متر) محاسبه شد.

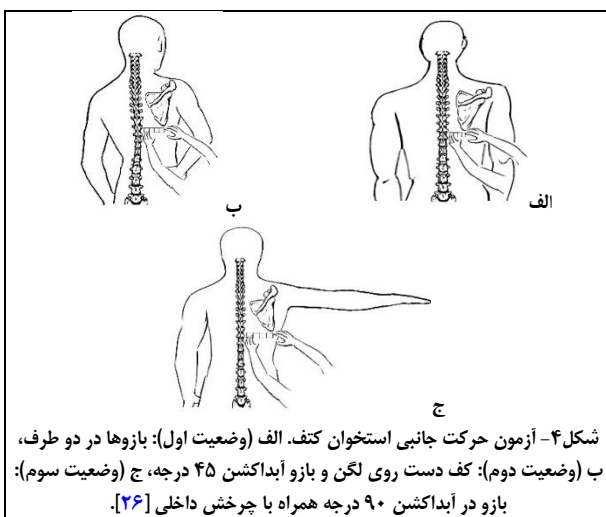
پس از شناسایی افراد مبتلا به UCS با استفاده از صفحه شطرنجی [۱۸]، نمونه‌های تحقیق از نظر زاویه سر به جلو، شانه به جلو و انحنای پشتی مورد ارزیابی کمی قرار گرفتند [۱۹]. میزان زاویه سر به جلو و شانه به جلو، با استفاده از روش عکسبرداری نیمرخ بدن اندازه‌گیری شدند (شکل ۱). این روش از تکرارپذیری مطلوبی برخوردار بوده و در پژوهش‌های متعدد استفاده شده است. بدین منظور، ابتدا سه نشانه آناتومیکی تراگوس گوش و برجستگی آکرومیون سمت راست و همچنین، زائدۀ خاری مهره هفتم گردنی مشخص و با لندهارک نشانه‌گذاری شد. سپس از آزمودنی خواسته شد تا در محل تعیین شده در کنار دیوار (در فاصله ۲۳ سانتیمتری) طوری بايستد که بازوی چپ وی به سمت دیوار باشد. آنگاه، سه پایه



شکل ۱- اندازه‌گیری زاویه سر به جلو و شانه به جلو با استفاده از روش عکسبرداری

1. Kinovea

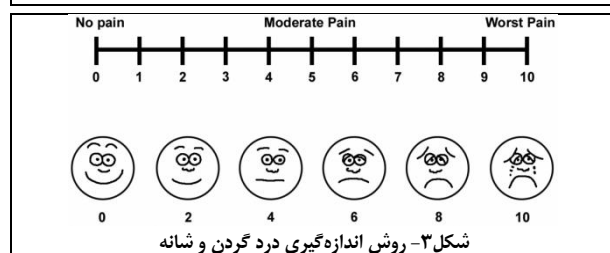
2. Goniometer-pro app



شکل ۴- آزمون حرکت جانبی استخوان کتف. (الف) (وضعیت اول): بازوها در دو طرف، (ب) (وضعیت دوم): کف دست روی لگن و بازو آبدکشن ۴۵ درجه، (ج) (وضعیت سوم): بازو در آبدکشن ۹۰ درجه همواره با چرخش داخلی [۲۶].

ناحیه گردن و شانه آزمودنی بود، علامت بزند و عدد به دست آمده به عنوان درد آزمودنی در نظر گرفته شد. در این روش که در آن درد گردن و شانه به صورت جداگانه اندازه‌گیری شد، هر چه عدد گزارش شده توسط فرد بالاتر باشد، نشان‌دهنده میزان درد بیشتر و هر چه عدد گزارش شده کوچکتر باشد، نشان‌دهنده میزان درد کمتر است [۲۳]. روابی ۷۰/۰ و پایابی ۹۷/۰ برای این مقیاس گزارش شده است [۲۴].

برای ارزیابی ریتم کافی بازویی از آزمون حرکت جانبی استخوان کتف (LSST)^۲ به وسیله اندازه‌گیری فواصل استخوان اسکاپولا سمت برتر و غیربرتر از ستون مهره‌ها استفاده شد (شکل ۴). به طوری که فاصله زاویه تحتانی استخوان اسکاپولا از زائدۀ خاری نزدیکترین مهره آن اندازه‌گیری می‌شود. در این آزمون، ابتدا فرد بدون پوشش بالاتنه در وضعیت ایستاده پشت به آزمونگر می‌ایستند. سپس زوایای تحتانی استخوان‌های کتف و زائدۀ خاری مهره‌های بین آنها به عنوان نقطه مرجع علامت‌گذاری می‌شود. سرانجام فاصله زاویه تحتانی استخوان‌های کتف برتر و غیربرتر از نقطه مرجع در سه وضعیت صفر، ۴۵ و ۹۰ درجه آبدکشن شانه با استفاده از متر نواری اندازه‌گیری می‌شود. آزمون LSST دارای ضریب همبستگی درون گروهی ۹۲/۰-۹۱/۰ است و اعتبار بیرونی قابل قبولی دارد [۲۵].



شکل ۳- روش اندازه‌گیری درد گردن و شانه

با این کار، محل قرارگیری زائدۀ خاری دوازدهمین مهره پشتی تعیین می‌شد. سپس از فرد خواسته شد در حالت طبیعی بایستد، فاصله بین دو پاشنه ۱۵ سانتی‌متر باشد و بازوها را در حالت فلکشن ۹۰ درجه نگهدارد. دو مهره تعیین شده به عنوان شاخص ابتدایی و انتهایی مشخص شد [۲۲]. پس از اجرای برنامه گونیامتر در گوشی هوشمند، ابتدا قسمت مرکزی و پایین گوشی هوشمند را به صورت عمود، روی شاخص ابتدایی (اولین مهره پشتی) نگه‌داشته و دکمه سبزرنگ در برنامه لمس می‌شد، سپس قسمت مرکزی و پایین گوشی هوشمند را روی مهره دوازدهم پشتی نگه‌داشته و دکمه سبزرنگ زده می‌شد. در نهایت بر روی گوشی هوشمند دو عدد ثبت شد که عدد کوچکتر نشان‌دهنده زاویه کیفوز پشتی بود [۲۲]. زاویه بیشتر از ۴۲ درجه به عنوان کیفوز در نظر گرفته می‌شود [۱۶]. برای اپلیکیشن گونیامتر، همبستگی عالی ($r=0.81$) درون ارزیاب ICC=۰/۸۸ و قابلیت اطمینان بین ارزیاب ICC=۰/۹۱ در پژوهش فرامزی و غنی‌زاده حاصل شد [۲۲]. جهت ارزیابی شاخص درد ناحیه گردن و شانه آزمودنی‌ها از مقیاس بصری درد (VAS)^۱ استفاده شد (شکل ۳). VAS خط افقی ۱۰ سانتی‌متری است که در انتهای چپ آن واژه بدون درد (عدد صفر) و در انتهای راست آن واژه بیشترین درد (عدد ۱۰) قابل تصور درج شده است. از آزمودنی خواسته شد که نقطه‌ای را روی این خط با توجه به اعداد دو انتهایا که بیانگر میزان درد

2. Lateral Scapula Slide Test

1. Visual Analog Scale

جدول ۲- مقایسه درد گردن و شانه و ریتم کتفی بازویی در دو گروه

آماره p	آزمون	گروه	شاخص اندازه‌گیری		(میانگین ± انحراف معیار)
			متلا به سندروم	سالم	
.0001*	1/059	درد گردن	۰/۹۰ ± ۰/۸۰	۴/۳۳ ± ۱/۵۸	
.0001*	11/49	درد شانه	۰/۷۱ ± ۰/۸۶	۳/۹۶ ± ۱/۲۷	
.0001*	5/71	کتف برتر در زاویه صفر درجه	۵/۲۳ ± ۰/۲۸	۵/۷۵ ± ۰/۴۰	
.0004*	2/99	کتف غیر برتر در زاویه صفر درجه	۴/۹۰ ± ۰/۴۰	۵/۳۰ ± ۰/۶۲	
.0001*	4/92	کتف برتر در زاویه ۴۵ درجه	۶/۵۵ ± ۰/۳۰	۷/۰۴ ± ۰/۴۴	
.0011*	2/65	کتف غیر برتر در زاویه ۴۵ درجه	۶/۱۱ ± ۰/۶۳	۶/۶۸ ± ۱/۰۴	
.0001*	6/53	کتف برتر در زاویه ۹۰ درجه	۷/۷۵ ± ۰/۲۶	۸/۳۶ ± ۰/۴۴	
.0013*	2/55	کتف غیر برتر در زاویه ۹۰ درجه	۷/۴۹ ± ۰/۳۶	۷/۷۰ ± ۰/۲۶	

* معنی داری در سطح .۰۵

یافته‌ها

اطلاعات توصیفی آزمودنی‌های تحقیق در [جدول ۱](#) آمده است. نتایج آزمون شاپیرو-ولیک در دو گروه نشان دهنده توزیع نرمال داده‌ها برای متغیرهای درد و ریتم کتفی بازویی بود ($p > 0.05$). نتایج آزمون لوین برای هیچ کدام از متغیرها معنی‌دار نبود ($p < 0.05$): بنابراین فرض همگنی واریانس‌ها هم برقرار بود. نتایج آزمون تی مستقل در مقایسه سن، قد، وزن و شاخص توده بدنی آزمودنی‌ها نشان داد که دو گروه از نظر ویژگی‌های فردی همگن هستند.

نتایج آزمون تی مستقل جهت مقایسه گروه‌ها در متغیرهای درد و ریتم کتفی بازویی در [جدول ۲](#) ارائه شده است. نتایج این آزمون نشان داد بین درد ناحیه گردن، درد شانه و ریتم کتفی بازویی بین دو گروه متلا به سندروم و سالم تفاوت معنی‌داری وجود دارد ($p < 0.05$). با توجه به میانگین‌های دو گروه مشخص شد که در ناحیه گردن و شانه، گروه متلا به سندروم درد بیشتری نسبت به گروه سالم در حالت استراحت گزارش کرده‌اند ($p = 0.001$). همچنین از آنجایی که در گروه متلا به سندروم فاصله کتف سمت برتر و غیربرتر از ستون مهره‌ها در زاویه صفر درجه ($p = 0.001$ ؛ $p = 0.004$ ؛ $p = 0.001$)، زاویه ۴۵ درجه ($p = 0.001$ ؛ $p = 0.011$) و زاویه ۹۰ درجه ($p = 0.001$ ؛ $p = 0.013$) بیشتر از گروه سالم است، در ریتم کتفی بازویی نیز نسبت به گروه سالم عملکرد ضعیفتری داشته است.

جدول ۱- ویژگی‌های فردی آزمودنی‌ها

آماره p	آزمون	گروه	شاخص اندازه‌گیری		(میانگین ± انحراف معیار)
			متلا به سندروم	سالم	
.0918	سن (سال)	درد گردن	۱/۵۳	۱۱/۱۶ ± ۰/۸۰	۱۰/۵۵ ± ۰/۴۱
.0098	قد (سانتی‌متر)	درد شانه	۱/۱۹	۱۴۲/۴۶ ± ۴/۴۶	۱۴۰/۲۷ ± ۴/۵۲
.0803	وزن (کیلوگرم)	کتف برتر در زاویه صفر درجه	۰/۸۸	۳۸/۳۳ ± ۳/۱۲	۳۷/۵۸ ± ۲/۰۰
.0845	شاخص توده بدنی ($\frac{kg}{m^2}$)	کتف غیر برتر در زاویه ۴۵ درجه	۰/۷۶	۱۹/۰۶ ± ۰/۸۳	۱۹/۱۷ ± ۰/۷۴

ملاحظات اخلاقی

از تمامی والدین آزمودنی‌ها فرم رضایت‌نامه شرکت در مطالعه اخذ گردید و هدف از انجام مطالعه برای آنها به طور کامل شرح داده شد و به آنها اطمینان داده شد که روش‌های ارزیابی در تحقیق هیچ گونه خطری برای فرزندانشان ندارد و اطلاعاتشان کاملاً محترمانه باقی خواهد ماند. تمام ارزیابی‌ها در حضور ولی یا سرپرست قانونی آزمودنی‌ها انجام گرفت. شرکت‌کنندگان در این تحقیق تنها یکبار مورد ارزیابی قرار گرفتند. ارزیابی‌ها و اندازه‌گیری‌ها کاملاً به صورت غیرت‌ها جمی بود و هیچ خطری برای سلامت فرد نداشت. داده‌های جمع‌آوری شده و نتایج آنها در این پژوهش بدون ذکر نام و مشخصات منتشر شد و بعد از آنالیز داده‌ها، فایل‌های مربوط به عکس‌های گرفته شده، حذف شد.

تجزیه و تحلیل آماری

جهت تجزیه و تحلیل اطلاعات جمع‌آوری شده از روش‌های آمار توصیفی و استنباطی استفاده شد. همگنی ویژگی‌های فردی آزمودنی‌ها با استفاده از آزمون تی مستقل بررسی شد. جهت بررسی نرمال بودن توزیع داده‌ها از آزمون شاپیرو-ولیک و برای بررسی تجانس واریانس از آزمون لوین استفاده شد. پس از بررسی پیش‌فرض‌های مربوط به آزمون‌های پارامتریک، برای مقایسه تفاوت بین گروهی از آزمون تی مستقل در سطح معناداری 0.05 استفاده شد. تمام تحلیل‌های آماری با نرم افزار SPSS نسخه ۲۶ انجام گردید.

می‌کند. از طرفی نتیجه بررسی‌های جایدیپ^۱ و همکاران همسو با مطالعه حاضر است. نتایج آنها بیانگر درد و ناتوانی بیشتر در ناحیه شانه افراد مبتلا به UCS نسبت به افراد سالم بود و اظهار داشتند بین UCS و کپسویلیت چسبنده شانه رابطه وجود دارد. به نحوی که وجود این سندروم علائم آن را شدیدتر می‌کند و منجر به درد و ناتوانی می‌گردد [۳۲]. طبق مطالب بیان شده تغییر در وضعیت قرارگیری سر و گردن، شانه‌ها و ناحیه توراسیک در دانش‌آموzan مبتلا به UCS، تنفس عضلانی را افزایش داده و در طولانی مدت می‌تواند باعث ایجاد نقاط مانشه‌ای، درد و ناراحتی‌های اسکلتی-عضلانی گردد که تفاوت درد نسبت به دانش‌آموzan بدون سندروم را تبیین می‌کند.

نتایج مطالعه حاضر در رابطه با مقایسه ریتم کتفی بازویی در دانش‌آموzan با و بدون UCS تفاوت معنی‌داری را نشان داد؛ به عبارت دیگر در ریتم کتفی بازویی دانش‌آموzan مبتلا نسبت به گروه سالم عملکرد ضعیفتری مشاهده شد. سیستم اسکلتی همانند یک زنجیره است و وضعیت قرارگیری هر یک از ساختارهای آن می‌تواند بر ساختارهای مجاور اثرگذار باشد [۲۵]. نتایج مطالعه داس^۲ و همکاران نشان داد روند فعال‌سازی عضلات ذوزنقه فوقانی، ذوزنقه تحتانی و دندانه‌ای قدمای در افراد مبتلا به UCS تغییر می‌کند [۳۳]. تعادل ضعیف بین عضلات آگونیست و آنتاگونیست و تغییر در طول عضلات در نهایت سبب ایجاد الگوهای نامناسب در مفاصل و بافت‌های نرم از جمله اختلال در ریتم کتفی بازویی می‌شوند [۲۶]. نتایج مطالعه حاضر نیز نشان داد موقعیت اسکاپولا در دانش‌آموzan مبتلا به UCS تغییر می‌کند و به دنبال آن تغییر در کینماتیک کتف و ریتم کتفی بازویی اتفاق می‌افتد. موقعیت مطلوب اسکاپولا طوری است که زاویه فوقانی آن، هم سطح با زائد خاری مهره دوم یا سوم پشتی است. خار اسکاپولا می‌تواند برای ارزیابی موقعیت‌های مربوط به استخوان اسکاپولا لمس شود. ریشه خار اسکاپولا با زائدۀ‌های خاری مهره سوم و چهارم

بحث و نتیجه‌گیری

نتایج مطالعه حاضر نشان داد که بین درد ناحیه گردن و شانه در دانش‌آموzan مبتلا به UCS و سالم تفاوت معنی‌داری وجود دارد؛ به عبارت دیگر دانش‌آموzan مبتلا نسبت به همسالان سالم درد بیشتری در ناحیه گردن و شانه در حالت استراحت گزارش کردند.

ناهنگاری‌های مرتبط با UCS تعامل بالایی با یکدیگر داشته و تشید هر یک از آنها بر دیگر ناهنگاری‌ها اثر مستقیم دارد [۴]. UCS منجر به عدم تعادل عضلانی، تغییر در توالی فعال شدن عضلات و به هم خوردن الگوهای حرکتی نرمال می‌شود که سبب توزیع نامناسب فشار و نیرو بر مفاصل، ایجاد میکروترووماهای بیش از حد روی مفاصل، تغییر در دامنه حرکتی طبیعی و تغییر در اطلاعات حس عمقی مفاصل می‌گردد و در دراز مدت می‌توانند باعث مزمن شدن درد و یا به عبارت دیگر سندروم دردهای اسکلتی-عضلانی شوند که خود را به صورت کمردرد، گردن درد، دردهای مزمن قدام زانو و سندروم گیر افتادگی شانه نشان می‌دهند [۲۷]. همان طور که نتایج مطالعه حاضر نیز نشان داد دانش‌آموzan مبتلا به UCS در حالت استراحت، درد بیشتری در ناحیه گردن و شانه‌ها احساس می‌کنند. طبق مبانی تئوری، حرکات تکراری یا نگهداری بدن برای زمانی طولانی در یک حالت خاص منجر به شکل‌گیری الگوی حرکتی غلط می‌شود که در طولانی مدت به سندروم تبدیل شده و ناتوانی و درد را به وجود می‌آورد [۲۸]. طبق نتایج مطالعه امیری و همکاران ارتباط معنی‌داری بین جلو آمدن سر با گردن درد، کیفوز افزایش یافته با گردن درد و شانه به جلو با گردن درد در دانش‌آموzan کاربر رایانه مبتلا به UCS وجود دارد [۲۹]. احتمالاً این سندروم سبب افزایش بار بر ساختارهای غیرانقباضی و استرس‌های غیرطبیعی بر ساختارهای بخش خلفی گردن و پشت می‌شود و در نتیجه، درد میوفاسیال را ایجاد می‌کند [۳۰]. همچنان که نتایج تحقیق غفار و همکاران نشان داد این ناهنگاری سبب درد و اختلال در عملکرد فک می‌گردد [۳۱] که نتایج مطالعه حاضر را تأیید

1. Jaideep
2. Das

خستگی آزمودنی‌ها در روز آزمون و عدم توانایی کنترل میزان استرس و حالت روانی آزمودنی‌ها در طول ارزیابی‌ها اشاره کرد. با توجه به نتایج مطالعه حاضر که بیانگر وجود تفاوت در درد ناحیه گردن و شانه و ریتم کتفی بازویی دانشآموزان دختر با و بدون UCS است، می‌توان نتیجه گرفت که UCS با تغییر در راستای ستون فقرات و بدن، بر وضعیت گردن، شانه‌ها و پشت اثر می‌گذارد و سبب تغییر در سازوکار فعال‌سازی عضلات و عملکرد مفاصل می‌شود که به دنبال آن تنفس و خستگی عضلانی افزایش می‌یابد و دردهای اسکلتی-عضلانی را به وجود می‌آورد. همچنین تغییرات عصبی-عضلانی-اسکلتی و اختلال در وضعیت اسکاپولا در این سندروم، ناهمانگی عضلانی در کمربند شانه‌ای و اختلال در الگوهای حرکتی آن از جمله ریتم کتفی بازویی را در پی دارد. بر این اساس، شناخت زودهنگام و به موقع انحرافات وضعیتی و اصلاح آنها می‌تواند آسیب‌های ناشی از تغییر وضعیت را کاهش دهد و به صرفه‌جویی در وقت و هزینه کمک کند. از این رو پیشنهاد می‌شود مریبیان و معلمان ورزشی راهکارهای اصلاحی و پیشگیری از وقوع اختلالات وضعیتی برای دانشآموزان در کلاس‌های درسی ارائه دهند و اصول صحیح وضعیت بدنی هنگام انجام تکالیف درسی و کارهای روزمره را به والدین و دانشآموزان آموختند. همچنین می‌توانند در صورت شناسایی و غربالگری، افراد مستعد را جهت رفع ناهنجاری‌های وضعیتی به مریبیان متخصص حرکات اصلاحی ارجاع دهند.

تشکر و قدردانی

تحقیق حاضر مستخرج از پایان نامه کارشناسی ارشد نویسنده اول و دارای کد IR.SSRC.REC.1401.105 مصوب از پژوهشگاه علوم ورزشی است. از تمامی والدین و دانشآموزانی که دلسوزانه ما را در اجرای تحقیق حاضر یاری نمودند، کمال تشکر و قدردانی ابراز می‌نماییم.

پشتی مطابقت دارد. همچنین زاویه تحتانی، هم‌سطح با مهره هفتم و هشتم و یا نهم پشتی است [۳۴]. در این رابطه، کندال گزارش کرده است که کناره‌های داخلی اسکاپولا موازی هستند و فاصله بین آنها حدود ۷/۶۲ تا ۱۰/۶ سانتی‌متر (۳ تا ۴ اینچ) است [۳۵]. غوری و همکاران در مطالعه‌ای بیان کردند بین عملکرد عضلات شانه، گردن و تنہ با اختلالات مفصل گلنوهومرال در نظامیان با و بدون UCS اختلاف معناداری وجود دارد که در گروه با سندروم الگوی وضعیتی و حرکتی حین فعالیت دست در جلوی بدن به گردشدن شانه‌ها و کیفوز و همینطور ابداکشن کتف‌ها و چرخش داخلی بازوها می‌انجامد که بر نمره قدرت عضلانی و دامنه حرکتی شانه اثر می‌گذارد [۱۵]. کارایی فعالیت عضلات به جهت‌گیری و راستای مناسب کتف روی قفسه سینه و رابطه طول تنفس عضلات ثابت‌کننده کتف و عضلات چرخاننده بازو بستگی دارد. وضعیت غیر طبیعی کتف شانه تغییر در فعالیت عضلات اطراف است و حرکت غیرطبیعی آن با حرکت هماهنگ آن با استخوان بازو تداخل می‌کند و در نتیجه ریتم کتفی بازویی از بین می‌رود و احتمال آسیب کتف و کمربند شانه افزایش می‌یابد [۳۶]. نتایج مطالعه خسره و همکاران [۱۶] که به حس عمقی و تعادل ضعیف شانه در دختران با و بدون UCS اشاره دارد، همسو با مطالعه حاضر است. در تحقیقی دیگر خسره و همکاران عنوان کردند سواد جسمانی و عملکرد اندام فوقانی دختران سالم نسبت به دختران مبتلا به UCS در وضعیت مطلوب‌تری قرار داشت [۱۷]. در این ناهنجاری، تغییر مکان استخوان کتف می‌تواند بر روی عملکرد و تولید نیروی عضلانی کمربند شانه، به ویژه عضلات ثابت‌کننده کتف تأثیر بگذارد که به دنبال آن در حرکات کتف و ریتم کتفی بازویی نیز تغییر به وجود می‌آید.

از جمله محدودیت‌های مطالعه حاضر می‌توان به عدم امکان تعمیم نتایج به جامعه پسران و سایر گروه‌های سنی، عدم بررسی سایر اختلالات و ناهنجاری‌های آزمودنی‌ها، عدم کنترل میزان فعالیت بدنی روزانه یا تأثیر احتمالی تفاوت‌های تعذیبه‌ای که می‌تواند بر نتایج اثرگذار باشد و همچنین عدم کنترل دقیق

نگارش اولیه مقاله یا بازنگری آن سهیم بوده‌اند و همه با تأیید نهایی مقاله حاضر مسئولیت دقت و صحبت مطالب مندرج در آن را می‌پذیرند.

منابع مالی

در این پژوهش از هیچ ارگانی کمک مالی دریافت نگردید.

تعارض منافع

نویسنده‌گان اعلام می‌کنند که در این پژوهش هیچ گونه تعارض منافع وجود ندارد.

سهم نویسنده‌گان

همه نویسنده‌گان در ایده‌پردازی و انجام طرح، همچنین

References

- Hhajihosseini E, Norasteh A, Shamsi A, Daneshmandi H. The comparison of effect of three programs of strengthening, stretching and comprehensive on upper crossed syndrome. Journal of Research in Rehabilitation Sciences. 2015;11(1):51-61. [Persian] doi:[10.22122/jrrs.v11i1.2149](https://doi.org/10.22122/jrrs.v11i1.2149)
- Ghalehney MA, Norasteh AA, Daneshmandi H, Bahiraei S. The comparison of head, shoulder, and spine in veteran soccer and volleyball players and non-athletes. The Scientific Journal of Rehabilitation Medicine. 2016;5(2):173-183. [Persian] doi:[10.22037/jrm.2016.1100186](https://doi.org/10.22037/jrm.2016.1100186)
- Maghdid AR, Ghani Zadeh Hesar N, Mohammadi Danghralo M, Mohammad Ali Nasab Firouzjah E. Comparison of basic manipulation skills between children with upper extremity syndrome and healthy children. Journal of Sports and Motor Development and Learning. 2022;13(4):473-491. [Persian] doi:[10.22059/jsmdl.2022.337780.1638](https://doi.org/10.22059/jsmdl.2022.337780.1638)
- Akbari A, Gannad R. Prevalence of shoulder postural impairments in 10-12 years old primary students of Zahedan. Journal of Medical Sciences. 2006;6(3):332-337. doi:[10.3923/jms.2006.332.337](https://doi.org/10.3923/jms.2006.332.337)
- Sedrez JA, da Rosa MI, Noll M, Medeiros Fda S, Candotti CT. [Risk factors associated with structural postural changes in the spinal column of children and adolescents]. Revista Paulista De Pediatria. 2015;33(1):72-81. doi:[10.1016/j.rpped.2014.11.012](https://doi.org/10.1016/j.rpped.2014.11.012)
- Chang MC, Choo YJ, Hong K, Boudier-Revéret M, Yang S. Treatment of upper crossed syndrome: A narrative systematic review. Healthcare (Basel). 2023;11(16). doi:[10.3390/healthcare11162328](https://doi.org/10.3390/healthcare11162328)
- Azam H, Fatima N, Asjad A, Ashraf I, Asif T, Rehman F. Comparative effects of comprehensive corrective exercises versus muscle energy techniques in patients with upper cross syndrome: A randomized controlled trial: corrective exercises vs muscle energy techniques in patients with upper cross syndrome. Pakistan BioMedical Journal. 2022;5(7):173-177. doi:[10.5439/pbmj.v5i7.671](https://doi.org/10.5439/pbmj.v5i7.671)
- Wiranatha MBK, Putra IPYP, Saraswati PAS, Kinandana GP. The relationship between upper cross syndrome posture and shoulder disability. Physical Therapy Journal of Indonesia. 2024;5(2):137-141. doi:[10.51559/ptji.v5i2.209](https://doi.org/10.51559/ptji.v5i2.209)
- Ghamkhar L, Kahlaee AH. Is forward head posture relevant to cervical muscles performance and neck pain? A case-control study. Brazilian Journal of Physical Therapy. 2019;23(4):346-354. doi:[10.1016/j.bjpt.2018.08.007](https://doi.org/10.1016/j.bjpt.2018.08.007)
- Ludewig PM, Reynolds JF. The association of scapular kinematics and glenohumeral joint pathologies. The Journal of Orthopaedic and Sports Physical Therapy. 2009;39(2):90-104. doi:[10.2519/jospt.2009.2808](https://doi.org/10.2519/jospt.2009.2808)
- Cole AK, McGrath ML, Harrington SE, Padua DA, Rucinski TJ, Prentice WE. Scapular bracing and alteration of posture and muscle activity in overhead athletes with poor posture. Journal of Athletic Training. 2013;48(1):12-24. doi:[10.4085/1062-6050-48.1.13](https://doi.org/10.4085/1062-6050-48.1.13)
- Izraelski J. Assessment and treatment of muscle imbalance: The janda approach. The Journal of the Canadian Chiropractic Association. 2012;56(2):158.
- Struyf F, Nijs J, Baeyens JP, Mottram S, Meeusen R. Scapular positioning and movement in unimpaired shoulders, shoulder impingement syndrome, and glenohumeral instability. Scandinavian Journal of Medicine & Science in Sports. 2011;21(3):352-358. doi:[10.1111/j.1600-0838.2010.01274.x](https://doi.org/10.1111/j.1600-0838.2010.01274.x)
- Babagoltabar-Samakoush H, Norasteh A. Scapulohumeral rhythm, kyphosis, and forward shoulder in Iranian Wushu athletes and non-athletes. The Scientific Journal of Rehabilitation Medicine. 2022;11:836-849. [Persian] doi:[10.32598/SJRM.11.5.3](https://doi.org/10.32598/SJRM.11.5.3)
- Ghafouri M, Daneshmandi H, Fallah AY. Comparison of shoulder, trunk and neck muscle function with glenohumeral joint disorders in army officers with and without upper cross syndrome. Journal of Military Medicine. 2022;24(3):1166-1175. [Persian] doi:[10.30491/jmm.24.3.1166](https://doi.org/10.30491/jmm.24.3.1166)
- Khosravi Z, Mohammad Ali Nasab Firouzjah E, Homayounnia Firouzjah M. Comparison of balance and proprioception of the shoulder joint in girls with and without upper cross syndrome. BMC Musculoskeletal Disorders. 2024;25(1):618. doi:[10.1186/s12891-024-07552-5](https://doi.org/10.1186/s12891-024-07552-5)
- Khosravi Z, Mohammad Ali Nasab Firouzjah E, Homayounnia Firouzjah M. Comparison of physical literacy and upper extremity functions in girls with and without upper crossed syndrome. Journal of Sports and Motor Development and Learning. 2023;15(3):33-47. [Persian] doi:[10.22059/jsmdl.2023.356750.1710](https://doi.org/10.22059/jsmdl.2023.356750.1710)
- Murta BAJ, Santos TRT, Araujo PA, Resende RA, Ocarino JM. Influence of reducing anterior pelvic tilt on shoulder posture and the electromyographic activity of scapular upward rotators. Brazilian Journal of Physical Therapy. 2020;24(2):135-143. doi:[10.1016/j.bjpt.2019.02.002](https://doi.org/10.1016/j.bjpt.2019.02.002)

19. Daneshjoo A, Mousavi Sadati SK, Pourahmad F. Effect of corrective exercise vs corrective games on upper crossed syndrome in female students. *Physical Treatments - Specific Physical Therapy*. 2021;11(1):13-24. [doi:10.32598/ptj.11.1.412.3](https://doi.org/10.32598/ptj.11.1.412.3)
20. Thanasarn B, Pibul W, Kulchanarat C, Piathip D, Yuenyongchaiwat K. A prospective study of 73 patients to compare forward head angle, forward shoulder angle, maximal inspiratory pressure, and self-reported breathing-related symptoms before and after open-heart surgery. *Medical Science Monitor Basic Research*. 2023;29:e938802. [doi:10.12659/msmbr.938802](https://doi.org/10.12659/msmbr.938802)
21. Elrahim RMA, Embaby EA, Ali MF, Kamel RM. Inter-rater and intra-rater reliability of Kinovea software for measurement of shoulder range of motion. *Bulletin of Faculty of Physical Therapy*. 2016;21(2):80-87. [doi:10.4103/1110-6611.196778](https://doi.org/10.4103/1110-6611.196778)
22. Faramarzi Kohneh Shahri Y, Ghani Zadeh Hesar N. Validity and reliability of smartphone-based Goniometer-Pro app for measuring the thoracic kyphosis. *Musculoskeletal Science & Practice*. 2020;49:102216. [doi:10.1016/j.mskep.2020.102216](https://doi.org/10.1016/j.mskep.2020.102216)
23. Yaghoubitajani Z, Gheitasi M, Bayattork M, Andersen LL. Corrective exercises administered online vs at the workplace for pain and function in the office workers with upper crossed syndrome: randomized controlled trial. *International Archives of Occupational and Environmental Health*. 2022;95(8):1703-1718. [doi:10.1007/s00420-022-01859-3](https://doi.org/10.1007/s00420-022-01859-3)
24. Price DD, McGrath PA, Rafii A, Buckingham B. The validation of visual analogue scales as ratio scale measures for chronic and experimental pain. *Pain*. 1983;17(1):45-56. [doi:10.1016/0304-3959\(83\)90126-4](https://doi.org/10.1016/0304-3959(83)90126-4)
25. Gibson MH, Goebel GV, Jordan TM, Kegerreis S, Worrell TW. A reliability study of measurement techniques to determine static scapular position. *The Journal of Orthopaedic and Sports Physical Therapy*. 1995;21(2):100-106. [doi:10.2519/jospt.1995.21.2.100](https://doi.org/10.2519/jospt.1995.21.2.100)
26. Shadmehr A, Sarafraz H, Heidari Blooki M, Jalaie SH, Morais N. Reliability, agreement, and diagnostic accuracy of the Modified Lateral Scapular Slide test. *Manual Therapy*. 2016;24:18-24. [doi:10.1016/j.math.2016.04.004](https://doi.org/10.1016/j.math.2016.04.004)
27. Lord MJ, Small JM, Dinsay JM, Watkins RG. Lumbar lordosis. Effects of sitting and standing. *Spine*. 1997;22(21):2571-2574. [doi:10.1097/00007632-199711010-00020](https://doi.org/10.1097/00007632-199711010-00020)
28. Sahrmann S, Azevedo DC, Dillen LV. Diagnosis and treatment of movement system impairment syndromes. *Brazilian Journal of Physical Therapy*. 2017;21(6):391-399. [doi:10.1016/j.bjpt.2017.08.001](https://doi.org/10.1016/j.bjpt.2017.08.001)
29. Amiri MR, Barzegar M, Moradi B. Relationship between upper extremity syndrome and neck pain in students using computer. *Journal of Anesthesiology and Pain*. 2023;14(1):1-10. [Persian]
30. Yip CH, Chiu TT, Poon AT. The relationship between head posture and severity and disability of patients with neck pain. *Manual Therapy*. 2008;13(2):148-154. [doi:10.1016/j.math.2006.11.002](https://doi.org/10.1016/j.math.2006.11.002)
31. Ghaffar E, Sadia U, Riaz R, Mazhar F, Tariq R, Amjad L, et al. The association between upper cross syndrome and temporomandibular dysfunction. *Journal of Health and Rehabilitation Research*. 2024;4(3):1-5. [doi:10.6191/jhrr.v4i3.1432](https://doi.org/10.6191/jhrr.v4i3.1432)
32. Jaideep A, Eapen C, Prabhakar AJ, Patel V. Upper-crossed syndrome and disability in shoulder adhesive capsulitis. *Journal of Bodywork and Movement Therapies*. 2023;36:282-290. [doi:10.1016/j.jbmt.2023.05.016](https://doi.org/10.1016/j.jbmt.2023.05.016)
33. Das J, Anand P, Bhati P. Relationship of forward head posture and kinesthesia with electromyographical parameters in upper cross syndrome: A correlational cross-sectional study. *Journal of Clinical & Diagnostic Research*. 2024;18(3):178. [doi:10.7860/JCDR/2024/75527.20102](https://doi.org/10.7860/JCDR/2024/75527.20102)
34. Tucker WS, Campbell BM, Swartz EE, Armstrong CW. Electromyography of 3 scapular muscles: a comparative analysis of the cuff link device and a standard push-up. *Journal of Athletic Training*. 2008;43(5):464-469. [doi:10.4085/1062-6050-43.5.464](https://doi.org/10.4085/1062-6050-43.5.464)
35. Kendall FP, McCreary EK, Provance PG, Rodgers MM, Romani WA. Muscles: testing and function with posture and pain. 5th ed. Philadelphia: Lippincott Williams & Wilkins; 2005.
36. Kibler WB. The role of the scapula in athletic shoulder function. *The American Journal of Sports Medicine*. 1998;26(2):325-337. [doi:10.1177/03635465980260022801](https://doi.org/10.1177/03635465980260022801)